

## РОЖДЕНИЕ АДРОНОВ С БОЛЬШИМ ПОПЕРЕЧНЫМ ИМПУЛЬСОМ В ОБЛАСТИ ФРАГМЕНТАЦИИ

В.Х.Шойхет

Получено инклюзивное сечение ИС рождения адрона с большим поперечным импульсом  $p_{\perp}$  в области фрагментации в ковариантной партонной модели при предположении, что адрон с большим  $p_{\perp}$  является "продуктом распада" изолированного (по "рапидити") партона. Отмечены характерные для данной модели особенности ИС, которые могут быть наблюдаемы экспериментально.

В последнее время весьма интенсивно изучаются процессы рождения адронов с большими поперечными импульсами. Из полученных за последнее время экспериментальных результатов отметим следующие [1]: а) в области больших поперечных импульсов ( $p_{\perp} \gtrsim 3 \text{ ГэВ}$ ) инклюзивные сечения с ростом  $p_{\perp}$  убывают степенным образом:

$$f = (2\pi)^3 2p_0 \frac{\partial^3 \sigma}{\partial p^3} \sim (p_{\perp})^{-N},$$

где  $f$  – инклюзивное сечение (в дальнейшем – ИС), а  $N \approx 8$ ; б) ИС при фиксированных больших  $p_{\perp}$  существенно растут с ростом энергии сталкивающихся частиц ( $\sqrt{s}$ ).

Степенное падение ИС было получено в целом ряде работ [2–4], причем  $N = 8$  можно получить как в мультипериферической модели с обменом и рождением точечных частиц [2, 3], так и в ковариантной партонной модели [4, 5] с "лестничной кинематикой". Во всех вышеуказанных работах адроны с большим  $p_{\perp}$  рождались в области пионизации (углы  $\sim 90^\circ$ )

Нам представляется интересным рассмотреть случай рождения адронов с большим  $p_{\perp}$  в области фрагментации. Рассмотрим рождение адрона с большим  $p_{\perp}$  в области фрагментации в рамках ковариантной партонной модели [4, 5] с "лестничной кинематикой". В такой модели процесс с большим  $p_{\perp}$  произойдет тогда, когда при образовании налетающим быстрым адроном партонной "лестницы" на одной из ее "ступенек" происходит передача партону большого поперечного импульса. Партон, получивший большой поперечный импульс, является изолированным в пространстве "рапидити" и дальнейшая его эволюция происходит независимо от остальных партонов [6]. Этот изолированный партон распадается на "струю" адронов, один из которых детектируется.

Рассмотрим случай рождения с большим  $p_{\perp}$  самого быстрого адрона причем  $p_{\perp} \ll p$  – величины 3-импульса адрона.

Если принять обычное предположение, что партоны в "лестнице" упорядочены по продольным импульсам, то в рассматриваемом случае большой поперечный импульс передается партону на первой же "ступеньке лестницы", а детектируемый адрон является самым быстрым

из "струи" адронов, на которую распался этот партон. Основной вклад в ИС будут вносить диаграммы содержащие минимальное возможное число виртуальных партонов, проносящих большой поперечный импульс. Такой диаграммой (с учетом упорядоченности партонов по продольным импульсам) будет диаграмма рис. 1.

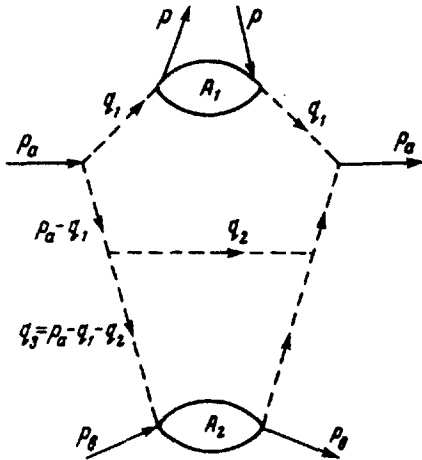


Рис. 1. Диаграмма, дающая в ковариантной партонной модели доминирующий вклад в ИС рождения адрона с большим  $p_{\perp}$  в области фрагментации. Сплошные линии – адронные, пунктирные – партонные

На рис. 1 сплошные линии – адронные, пунктирные – партонные. Кинематически наиболее выгодным оказывается "сбросить" большой поперечный импульс на следующей же ступеньке "лестницы". Партон, уносящий большой поперечный импульс, выделен на рис. 1. В дальнейшем вдоль "лестницы" передаются только малые поперечные импульсы, и оставшаяся часть "лестницы" описывается абсорбционной частью амплитуды рассеяния вперед партона на адроне (блок  $A_2$ ). Блок  $A_1$  находится в кинематической области распада партона, и согласно обобщенной оптической теореме [7]  $A_1(s', q_1^2) \sim \Gamma(s', q_1^2)$ , где  $\Gamma(s', q_1^2)$  – ширина инклюзивного распада партона "массой"  $\sqrt{q_1^2}$  на адрон с 4-импульсом  $p$  и любую возможную систему адронов "массой"  $\sqrt{s'}$  =  $[(q_1 - p)^2]^{1/2}$ ,  $A_1(s', q_1^2)$  – абсорбционная часть амплитуды рассеяния вперед партона на адроне, продолженная аналитически в область распада партона. ИС рассматриваемого процесса имеет вид

$$f = (2\pi)^3 2p_0 \frac{\partial^3 \sigma}{\partial p^3} = \frac{\lambda_1^2 \lambda_2^2}{2s} \int d^4 q_1 d^4 q_2 \frac{A_1(s', q_1^2)}{(q_1^2 - \mu^2)^2} \frac{\delta(q_2^2 - \mu^2)}{[(p_a - q_1)^2 - \mu^2]^2} \times \frac{A_2(s_2', q_3^2)}{(q_3^2 - \mu^2)^2} \quad (1)$$

$\lambda_1$  – константа "распада" партона на систему двух адронов,  $\lambda_2$  – константа трехпартонного взаимодействия. Так как партон предполагается

ются точечными, в вершинах нет формфакторов.  $\mu$  и  $m$  – массы партона и адрона. Партоны предполагаются скалярными;

$$s = (p_a + p_b)^2; \quad s' = (q_1 - p)^2; \quad s'' = (p_a + p_b - q_1 - q_2)^2; \quad (2)$$

$$q_3 = (p_a - q_1 - q_2).$$

Мы будем рассматривать асимптотический предел, когда

$$s \rightarrow \infty, \quad p_1^2 \rightarrow \infty; \quad m^2/p_1^2 \ll z_1^2 = \frac{4p_1^2}{s} \ll 1. \quad (3)$$

Для вычисления ИС примем следующие предположения. 1) Амплитуды с виртуальными внешними партонами достаточно быстро убывают (степенным образом), когда "массы" виртуальных партонов велики. Согласно этому предположению основной вклад в интеграл [1] набирается от области интегрирования, в которой  $q_1^2$  и  $q_3^2$  ограничены ( $\sim m^2$ ); 2) при распаде быстрого изолированного по "рапидити" партона родившиеся адроны летят в узком конусе вокруг 3-импульса партона. Вероятность обнаружить адрон вне конуса с углом раствора  $\sim m/p$  экспоненциально убывает; 3) поведение  $A_2(s'', q_3^2)$  при  $s'' \gg |q_3^2|$  определяется вкладом Померона ( $\alpha_P(0) = 1$ ). Введем переменные:  $x = p_0/q_{10}$  и  $z = 2p_0/s$ , где  $p_0$  и  $q_{10}$  – нулевые компоненты 4-векторов  $p$  и  $q_1$ . В этих переменных

$$A_2(s'', q_3^2) \sim (s''/|q_3^2|)^{\alpha_P(0)} \sim (x-z)z^s/p_1^2. \quad (4)$$

4)  $A_1(s', q_1^2)$  при  $0 \leq s' \leq (\sqrt{q_1^2} - m)^2$  может быть представлено в виде:

$$A_1(s', q_1^2) = A_1^{(0)}(q_1^2) \delta(s' - m^2) + \bar{A}_1(s', q_1^2) \theta(s' - 4m^2). \quad (5)$$

Выражение (5) соответствует тому, что амплитуда распада партона как аналитическая функция  $s'$  имеет полюс, соответствующий двухадронному распаду и точки ветвления, соответствующие  $n$ -адронным распадам ( $n \geq 3$ ). В соответствии с предположением (1) для  $A_1^{(0)}$  и  $\bar{A}_1$  примем следующие выражения:

$$A_1^{(0)}(q_1^2) \sim (q_1^2)^{-2\Gamma}; \quad \bar{A}_1(s', q_1^2) \sim (q_1^2)^{-2\Gamma} (s'/q_1^2)^\gamma \sim (q_1^2)^{-2\Gamma} (1-x)^\gamma,$$

где  $\Gamma$  и  $\gamma > 0$ . (6)

В выражении для  $\bar{A}_1$  учтено пороговое поведение при  $x \rightarrow 1$ . Будем вычислять ИС в кинематической области:

$$z_1^2 \ll 1 - z \ll 1. \quad (7)$$

При сделанных предположениях можно вычислить нулевой член разложения ИС ( $f_0$ ) по малому параметру  $z^2$ , так как при вычислении  $f_0$  переменные верхнего и нижнего блоков на рис. 1 можно отфакторизовать, и для  $f_0$  получится выражение

$$f_0 \sim \frac{1}{p_{\perp}^8} z^4 \int_{m^2/z(1-z)}^{\infty} dq_1^2 (q_1^2)^{-2\Gamma-2} \int_z^{\frac{1}{2}(1+\sqrt{1-4m^2/q_1^2})} dx (x-z) \delta \times \\ \times \left[ q_1^2(1-x) - \frac{m^2}{x} \right] + \bar{f}_0. \quad (8)$$

В (8) пределы по  $x$  получаются из условия:  $s' = (q_1^2 - \frac{m^2}{x})(1-x) \geq m^2$ . а  $f_0$  - вклад от второго слагаемого в (5). Интегрируя (8) получим

$$f_0(z, p_{\perp}^2) \sim \frac{z^4}{p_{\perp}^8} (1-z)^{3+2\Gamma} \left( 1 + \sum_{n=1}^{\infty} \frac{(-1)^n (2\Gamma+2)(2\Gamma+1)\dots(2\Gamma+2-n+1)}{n! (2\Gamma+2+n)(2\Gamma+3+n)} \times \right. \\ \left. \times (1-z)^n \right) + \bar{f}_0. \quad (9)$$

При  $1-z \ll 1$  сумма по  $n$  в (9) фактически определяется первыми несколькими членами. Если  $2\Gamma$  - целое число, то в этой сумме конечное число членов. Оценка  $\bar{f}_0$  показывает, что при  $1-z \ll 1$  и разумных значениях  $\Gamma$  и  $y$ , этот член гораздо меньше первого члена в (9). Это связано с наличием порогового множителя  $(1-x)^y$  и более высоким попором по  $q_1^2$ :  $q_{1min}^2 (s' = 4m^2) = \frac{m^2(1+3z)}{z(1-z)}$ . Отношение  $\bar{f}_0$  к первому члену в (9)  $\sim (1-z)^y (1+3z)^{-2\Gamma-1}$ . Таким образом ИС с хорошей точностью описывается первым членом в (9).

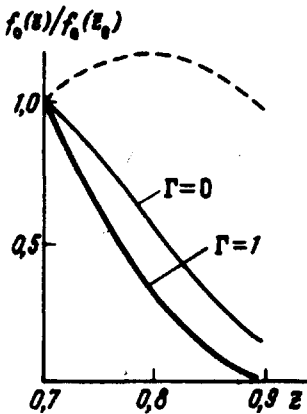


Рис. 2. Сплошные линии - зависимость отношения  $f_0(z)/f_0(z_0)$  от  $z$  в ковариантной партонной модели при различных значениях параметра  $\Gamma$  и  $z_0 = 0,7$ ; пунктирная линия - аналогичная зависимость в мультипериферической модели

Рассмотрим более подробно характерные свойства ИС: 1) зависимость ИС от  $p_{\perp}$  такова же, как и в области пионизации:  $f \sim (p_{\perp})^{-8}$ ; 2) ИС сильно зависит от  $z$ . С ростом  $z$  ИС быстро убывает. Скорость убывания зависит от параметра  $\Gamma$ . На рис. 2 представлена зависимость от-

ношения  $f_0(z)/f_0(z_0)$  от  $z$  при различных  $\Gamma$  и  $z \gg z_0 = 0,7$ . Если при фиксированном  $p_0$  увеличивать  $s$ , то ИС будет расти. Этот рост нам кажется аналогичным росту ИС на угол  $90^\circ$  при фиксированном  $p_\perp$  и растущем  $s$ ; 3) в мультипериферической модели, в которой (точечные) адроны с большим  $p_\perp$  вылетают непосредственно с "лесенки" (рис. 3), зависимость ИС от  $p_\perp^2$  и  $z$  имеет вид:  $f \sim \frac{1}{p_\perp^2} z^4 (1-z)$ , т. е. зависимость от

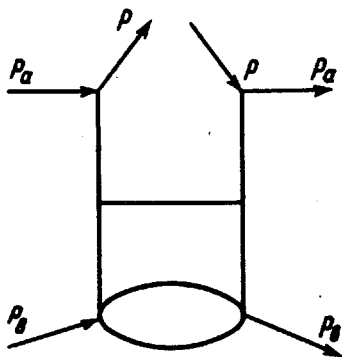


Рис. 3. Диаграмма, дающая доминирующий вклад в ИС рождения адрона с большим  $p_\perp$  в области фрагментации в мультипериферической модели

$z$  существенно отличается от соответствующей зависимости в партонной модели (см. рис. 2, пунктир). Таким образом партонная и мультипериферическая картины рождения адронов большими  $p_\perp$ , дающие в принципе одинаковую зависимость ИС от  $p_\perp$  приводят к существенно различным зависимостям ИС от  $z$ , и экспериментальное изучение зависимости ИС от  $z$  может помочь выбрать какая из этих картин имеет отношение к действительности.

В заключение автор приносит глубокую благодарность О.В.Канчели за многочисленные стимулирующие дискуссии и ценные указания.

Тбилисский  
государственный университет

Поступила в редакцию  
17 сентября 1974 г.

### Литература

- [1] B.Alper, H.Boggild, G.Jarlskog, G.Lynch, J.M.Weiss, P.Booth, L.J.Carroll, J.N.Jackson, M.Prentice, G.von Dardel, et al. Phys. Lett., **44B**, gaard, K.H.Hansen, 521, 527, 537, 1973; F.W.Büsser, L.Camilleri, L.Di Lella, G.Gladding, A.Placci, B.G.Pope, A.M.Smith, J.K.Yoh, E.Zavattini. Phys. Lett., **46B**, 471, 1973.
- [2] D.Amati, L.Caneschi, M.Testa. Phys. Lett., **43B**, 186, 1973.
- [3] Е.М.Левин, М.Г.Рыскин. ЯФ, **18**, 1108, 1973; ЯФ, **19**, 389, 1974.
- [4] P.V.Landshoff, J.C.Polkinghorne. Phys. Rev., **D8**, 927, 4157, 1973.
- [5] P.V.Landshoff, T.C.Polkinghorne. Phys. Reports, **5C**, 1, 1972.
- [6] S.M.Berman, T.D.Bjorken, T.B.Kogut. Phys. Rev., **D4**, 3388, 1971.
- [7] D.Horn. Phys. Rev., **D9**, 124, 1974.